

## สารบัญ

	หน้า
กิตติกรรมประกาศ	๑
บทคัดย่อภาษาไทย	๑
บทคัดย่อภาษาอังกฤษ	๑
สารบัญตาราง	๑
สารบัญภาพ	๑
<b>บทที่ 1 บทนำ</b>	<b>๑</b>
1.1 ปัญหาและที่มาของโครงการวิจัย	๑
1.2 วัตถุประสงค์ของการวิจัย	๓
1.3 ขอบเขตของการทำวิจัย	๔
1.4 ประโยชน์ที่คาดว่าจะได้รับจากการศึกษาเชิงอัลกอริทึมและเชิงประยุกต์	๔
1.5 ผลงานวิจัยอื่นๆ ที่เกี่ยวข้อง	๕
<b>บทที่ 2 ทฤษฎีที่เกี่ยวข้องกับโครงการวิจัย</b>	<b>๖</b>
2.1 ลักษณะของปัญหาและความรู้พื้นฐาน	๖
2.2 อัลกอริทึมชาโต	๑๒
2.3 อัลกอริทึมเจนเนอเรอล ไอลส์ชาโต	๑๓
2.4 อัลกอริทึมรีดิวคอนสเตலเลชัน	๑๔
2.5 อัลกอริทึมคอนແສຕນມອດດูลัส	๑๖
2.6 อัลกอริทึมมัลติมอดดูลัส	๒๐
2.7 อัลกอริทึมสแควรอนทัวร์	๒๔

## หน้า

<b>บทที่ 3 อัลกอริทึมที่นำเสนอด้วย : อัลกอริทึมดับเบิลอีลิพส์</b>	<b>27</b>
3.1 ความรู้พื้นฐานของสมการวงรี	27
3.2 ที่มาของอัลกอริทึมดับเบิลอีลิพส์	28
3.3 ผลลัพธ์ที่ได้จากการทดสอบของอัลกอริทึมดับเบิลอีลิพส์	37
3.4 อัลกอริทึมดับเบิลอีลิพส์กับความหมายของค่ายกกำลัง $p$	41
 <b>บทที่ 4 อัลกอริทึมดับเบิลอีลิพส์แบบแอพอิซูท</b>	<b>54</b>
4.1 อัลกอริทึมดับเบิลอีลิพส์แบบแอพอิซูท	54
4.2 ค่าคงที่ของอัลกอริทึมดับเบิลอีลิพส์แบบแอพอิซูท	57
4.3 ผลการทดสอบประสิทธิภาพในการกำจัดอินเตอร์ซิมโบลอินเตอร์เฟียร์ในอัลกอริทึมดับเบิลอีลิพส์แบบแอพอิซูท	58
4.3.1 รูปแบบการทดสอบประสิทธิภาพ	58
4.3.2 ผลการทดสอบที่ได้จากการทดสอบแบบสัญญาณข้อมูลแบบ 16-QAM	60
4.3.3 ผลการทดสอบที่ได้จากการทดสอบแบบสัญญาณข้อมูลแบบ 64-QAM	63
4.3.4 ผลการทดสอบที่ได้จากการทดสอบแบบสัญญาณข้อมูลแบบ 256-QAM	63
4.3.5 การเปรียบเทียบประสิทธิภาพระหว่างอัลกอริทึมดับเบิลอีลิพส์แบบแอพอิซูทและอัลกอริทึมดับเบิลอีลิพส์ที่ค่ายกกำลัง $p=2$	67
4.3.6 สรุปผลการทดสอบความสามารถในการกำจัดอินเตอร์ซิมโบล อินเตอร์เฟียร์	69
4.4 การวิเคราะห์อัลกอริทึมดับเบิลอีลิพส์แบบแอพอิซูทเมื่อเข้าสู่ระดับคงที่	70
4.4.1 การทดสอบประสิทธิภาพค่าเฉลี่ยของกำลังสองของผิดพลาด ณ ระดับคงที่	82
4.4.2 สรุปการทดสอบค่าเฉลี่ยของกำลังสองของผิดพลาด ณ ระดับคงที่	86
4.5 การทดสอบประสิทธิภาพค่าเฉลี่ยของกำลังสองของผิดพลาดของเฟส สำหรับอัลกอริทึมดับเบิลอีลิพส์แบบแอพอิซูท	86
4.5.1 สรุปการทดสอบค่าเฉลี่ยของกำลังสองของผิดพลาดของเฟส	93
4.6 สรุปผลประสิทธิภาพของอัลกอริทึมดับเบิลอีลิพส์แบบแอพอิซูท	93

## หน้า

<b>บทที่ 5 อัลกอริทึมดับเบลอีลิพส์แบบโมดิฟาย</b>	<b>95</b>
<b>5.1 อัลกอริทึมดับเบลอีลิพส์แบบโมดิฟาย</b>	<b>95</b>
<b>5.2 ค่าคงที่ของอัลกอริทึมดับเบลอีลิพส์แบบโมดิฟาย</b>	<b>97</b>
<b>5.3 ผลการทดสอบประสิทธิภาพในการกำจัดอินเตอร์ซิม โบลอินเตอร์เฟียร์นซ์ ของอัลกอริทึม ดับเบลอีลิพส์แบบโมดิฟาย</b>	<b>101</b>
<b>5.3.1 รูปแบบการทดสอบประสิทธิภาพ</b>	<b>101</b>
<b>5.3.1.1 ผลการทดลองที่ได้จากการถักขยะสัญญาณข้อมูลแบบ 16-QAM</b>	<b>101</b>
<b>5.3.1.2 ผลการทดลองที่ได้จากการถักขยะสัญญาณข้อมูลแบบ 64-QAM</b>	<b>106</b>
<b>5.3.1.3 ผลการทดลองที่ได้จากการถักขยะสัญญาณข้อมูลแบบ 256-QAM</b>	<b>110</b>
<b>5.3.2 สรุปผลการทดสอบความสามารถในการกำจัดอินเตอร์ซิม โบล อินเตอร์เฟียร์นซ์</b>	<b>112</b>
<b>5.4 การวิเคราะห์อัลกอริทึมดับเบลอีลิพส์แบบโมดิฟายเมื่อเข้าสู่ระดับคงที่</b>	<b>116</b>
<b>5.4.1 การทดสอบประสิทธิภาพค่าเฉลี่ยของกำลังสองของความผิดพลาด ณ ระดับคงที่</b>	<b>122</b>
<b>5.4.2 สรุปการทดสอบค่าเฉลี่ยของกำลังสองของความผิดพลาด ณ ระดับคงที่</b>	<b>127</b>
<b>5.5 การทดสอบประสิทธิภาพค่าเฉลี่ยของกำลังสองของความผิดพลาดของเฟส สำหรับอัลกอริทึมดับเบลอีลิพส์แบบโมดิฟาย</b>	<b>127</b>
<b>5.5.1 สรุปการทดสอบค่าเฉลี่ยของกำลังสองของความผิดพลาดของเฟส</b>	<b>133</b>
<b>5.6 สรุปผลประสิทธิภาพของอัลกอริทึมดับเบลอีลิพส์แบบโมดิฟาย</b>	<b>134</b>
<b>บทที่ 6 สรุปและข้อเสนอแนะ</b>	<b>138</b>
<b>6.1 สรุปผลงานวิจัย</b>	<b>138</b>
<b>6.1.1 ความสามารถในการกำจัดค่าอินเตอร์ซิม โบลอินเตอร์เฟอร์เรนที่เกิดจากช่องสัญญาณ</b>	<b>138</b>
<b>6.1.1.1 ความสามารถในการกำจัดอินเตอร์ซิม โบลอินเตอร์เฟอร์เรนบนสัญญาณข้อมูลแบบ 16-QAM</b>	<b>138</b>
<b>6.1.1.2 ความสามารถในการกำจัดอินเตอร์ซิม โบลอินเตอร์เฟอร์เรนบน</b>	<b>139</b>

<b>สัญญาณข้อมูลแบบ 64-QAM</b>	
6.1.1.3 ความสามารถในการกำจัดอินเตอร์ซิม โบลอนเตอร์เพอร์เรนบัน	139
<b>สัญญาณข้อมูลแบบ 256-QAM</b>	
6.1.2 การคำนวณหาค่าเฉลี่ยของกำลังสองของความผิดพลาดของอินเตอร์ซิม โบลอนเตอร์เพอร์เรนที่เมื่อเข้าสู่ระดับคงที่	140
6.1.3 ความสามารถในการลดระดับค่าเฉลี่ยของกำลังสองของความผิดพลาดของเฟส	140
6.1.3.1 จำนวนของข้อมูลที่ต้องในการลดระดับค่าเฉลี่ยของกำลังสองของความผิดพลาดของเฟส	141
6.1.3.1.1 จำนวนของข้อมูลที่ต้องในการลดระดับค่าเฉลี่ยของกำลังสองของความผิดพลาดของเฟส สำหรับข้อมูล สัญญาณแบบ 16-QAM	141
6.1.3.1.2 จำนวนของข้อมูลที่ต้องในการลดระดับค่าเฉลี่ยของกำลังสองของความผิดพลาดของเฟส สำหรับข้อมูล สัญญาณแบบ 64-QAM	141
6.1.3.2 เปรียบเทียบความสามารถในการลดระดับค่าเฉลี่ยของกำลังสองของความผิดพลาดของเฟส ระหว่างอัลกอริทึมดับเบิลอีลิปส์กับ อัลกอริทึมรีดิวคอนสเตตเลชัน	141
6.1.3.2.1 เปรียบเทียบความสามารถในการลดระดับค่าเฉลี่ยของกำลังสองของความผิดพลาดของเฟส สำหรับข้อมูล สัญญาณแบบ 16-QAM	142
6.1.3.2.2 เปรียบเทียบความสามารถในการลดระดับค่าเฉลี่ยของกำลังสองของความผิดพลาดของเฟส สำหรับข้อมูล สัญญาณแบบ 64-QAM	142
6.1.4 ผลของอัตราส่วนระหว่างแกนหลักและแกนรองต่อความสามารถของ อัลกอริทึมดับเบิลอีลิปส์	143
6.2 ปัญหาที่พบในงานวิจัย	143

6.3 ข้อเสนอแนะ

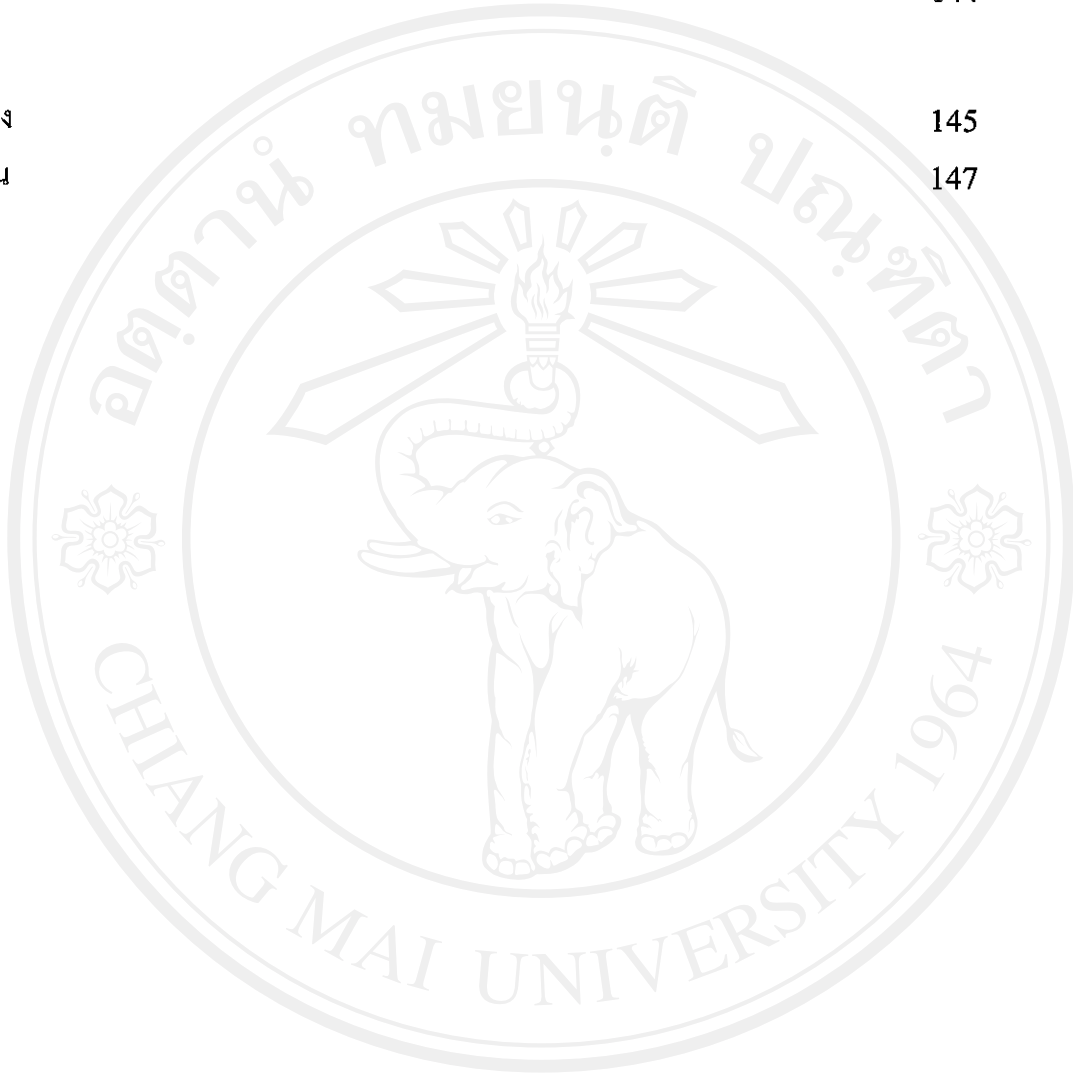
144

เอกสารอ้างอิง

145

ประวัติผู้เขียน

147



จิรศิทธิ์มหาวิทยาลัยเชียงใหม่

Copyright<sup>©</sup> by Chiang Mai University

All rights reserved

## สารบัญตาราง

ตารางที่	หน้า
4.1 ค่าประมาณของคงที่ $R_1$ และ $R_2$ สำหรับอัลกอริทึมดับเบิลอีลิพส์แบบแอพอโซซิวท์	57
4.2 ค่าเฉลี่ยและค่าเบี่ยงเบนของจำนวนข้อมูลที่ต้องการเพื่อที่จะเข้าถึงระดับ -24 dB บนข้อมูลสัญญาณข้อมูลแบบ 16-QAM สำหรับอัลกอริทึมดับเบิลอีลิพส์แบบแอพอโซซิวท์	69
4.3 ค่าเฉลี่ยและค่าเบี่ยงเบนของจำนวนข้อมูลที่ต้องการเพื่อที่จะเข้าถึงระดับ -24 dB บนข้อมูลสัญญาณข้อมูลแบบ 64-QAM สำหรับอัลกอริทึมดับเบิลอีลิพส์แบบแอพอโซซิวท์	70
4.4 ค่าเฉลี่ยและค่าเบี่ยงเบนของจำนวนข้อมูลที่ต้องการเพื่อที่จะเข้าถึงระดับ -24 dB บนข้อมูลสัญญาณข้อมูลแบบ 256-QAM สำหรับอัลกอริทึมดับเบิลอีลิพส์แบบแอพอโซซิวท์	70
4.5 ค่าเฉลี่ยและค่าเบี่ยงเบนของจำนวนข้อมูลที่ต้องการเพื่อที่จะเข้าถึงระดับค่าเฉลี่ยของกำลังสองของความผิดพลาดของเฟส เท่ากับ -1.8 ที่ระดับอินเตอร์ชิมโบล อินเตอร์เฟียเรนซ์เท่ากับ -24 dB สำหรับอัตราส่วนระหว่างแกนหลักและแกนรอง ต่างๆ บนข้อมูลสัญญาณข้อมูลแบบ 16-QAM สำหรับอัลกอริทึมดับเบิลอีลิพส์แบบแอพอโซซิวท์	89
4.6 ค่าเฉลี่ยและค่าเบี่ยงเบนของจำนวนข้อมูลที่ต้องการเพื่อที่จะเข้าถึงระดับค่าเฉลี่ยของกำลังสองของความผิดพลาดของเฟส เท่ากับ -1.63 ที่ระดับอินเตอร์ชิมโบล อินเตอร์เฟียเรนซ์เท่ากับ -24 dB สำหรับอัตราส่วนระหว่างแกนหลักและแกนรอง ต่างๆ บนข้อมูลสัญญาณข้อมูลแบบ 64-QAM สำหรับอัลกอริทึมดับเบิลอีลิพส์แบบแอพอโซซิวท์	89
5.1 ค่าคงที่ $R_1$ และ $R_2$ สำหรับอัลกอริทึมดับเบิลอีลิพส์แบบโนดิฟาย	99
5.2 ค่าเฉลี่ยและค่าเบี่ยงเบนของจำนวนข้อมูลที่ต้องการเพื่อที่จะเข้าถึงระดับ -24 dB สำหรับอัตราส่วนระหว่างแกนหลักและแกนรองต่างๆ บนข้อมูลสัญญาณข้อมูลแบบ 16-QAM สำหรับอัลกอริทึมดับเบิลอีลิพส์แบบโนดิฟาย	113

ตารางที่	หน้า
5.3 ค่าเฉลี่ยและค่าเบี่ยงเบนของจำนวนข้อมูลที่ต้องการเพื่อที่จะเข้าถึงระดับ -24 dB สำหรับอัตราส่วนระหว่างแกนหลักและแกนรองต่างๆ บนข้อมูลสัญญาณข้อมูลแบบ 64-QAM สำหรับอัลกอริทึมดับเบิลอีลิพส์แบบโมดิฟาย	114
5.4 ค่าเฉลี่ยและค่าเบี่ยงเบนของจำนวนข้อมูลที่ต้องการเพื่อที่จะเข้าถึงระดับ -24 dB สำหรับอัตราส่วนระหว่างแกนหลักและแกนรองต่างๆ บนข้อมูลสัญญาณข้อมูลแบบ 256-QAM สำหรับอัลกอริทึมดับเบิลอีลิพส์แบบโมดิฟาย	115
5.5 ค่าเฉลี่ยและค่าเบี่ยงเบนของจำนวนข้อมูลที่ต้องการเพื่อที่จะเข้าถึงระดับค่าเฉลี่ยของกำลังสองของความผิดพลาดของเฟส เท่ากับ -1.8 ที่ระดับอินเตอร์ชิมโบล อินเตอร์เฟียเรนซ์เท่ากับ -24 dB สำหรับอัตราส่วนระหว่างแกนหลักและแกนรองต่างๆ บนข้อมูลสัญญาณข้อมูลแบบ 16-QAM สำหรับอัลกอริทึมดับเบิลอีลิพส์แบบโมดิฟาย	132
5.6 ค่าเฉลี่ยและค่าเบี่ยงเบนของจำนวนข้อมูลที่ต้องการเพื่อที่จะเข้าถึงระดับค่าเฉลี่ยของกำลังสองของความผิดพลาดของเฟส เท่ากับ -1.63 ที่ระดับอินเตอร์ชิมโบล อินเตอร์เฟียเรนซ์เท่ากับ -24 dB สำหรับอัตราส่วนระหว่างแกนหลักและแกนรองต่างๆ บนข้อมูลสัญญาณข้อมูลแบบ 64-QAM สำหรับอัลกอริทึมดับเบิลอีลิพส์แบบโมดิฟาย	133

## สารบัญรูป

รูปที่	หน้า
1.1 ลักษณะตัวอย่างของช่องสัญญาณ โดยที่ (1) ส่วนของจำนวนจริงและ (2) ส่วนของ จำนวนจินตภาพ	2
1.2 (1) ลักษณะของข้อมูลก่อนผ่านช่องสัญญาณและ (2) ลักษณะของข้อมูลหลังจากผ่านช่องสัญญาณที่กำหนดไว้ในรูปที่ 1.1	2
2.1 โครงสร้างของระบบเบสแบนด์ (Baseband)	7
2.2 โครงสร้างของอีคิว่าไอลเซอร์แบบวงจรรองทราสเวอ蚀	7
2.3 ลักษณะของระบบอีคิว่าไอลเซ็นแบบบอด	10
2.4 ลักษณะจุดที่ค่าผิดพลาดมีค่าเท่ากับศูนย์ของรีดิวคอนสเตลเลชันพอยท์ สำหรับ สัญญาณข้อมูลแบบ 64-QAM	17
2.5 ลักษณะ โครงร่าง (Contour) ที่ค่าคօสท์ฟังก์ชันของอัลกอริทึมก็อดคาร์ด เท่ากับศูนย์	20
2.6 อัลกอริทึมนักติมอดดูลัสพยา Yamลดการกระจายตัวของผลลัพธ์ที่ได้จากอีคิว่า ไอลเซอร์ โดยแยกส่วนที่เป็นจำนวนจริงออกจากส่วนของจำนวนจินตภาพ ซึ่งจุดที่เป็นบริเวณใช้กำหนดของขนาดผลลัพธ์คือ $\pm R_{MMA}$	21
2.7 ลักษณะ โครงร่างที่ค่าคօสท์ฟังก์ชันของอัลกอริทึมนักติมอดดูลัสเท่ากับศูนย์	23
2.8 ลักษณะ โครงร่างที่ค่าคօสท์ฟังก์ชันของอัลกอริทึมสแคគอนหัวร์เท่ากับศูนย์	25
3.1 ลักษณะของบริเวณที่คօสท์ฟังก์ชันตามอัลกอริทึมดับเบิลอิลิพส์มีค่าเท่ากับศูนย์	30
3.2 (a) ลักษณะ โครงร่างของความผิดพลาดที่เท่ากับศูนย์ของอัลกอริทึมคอนແສຕນ มอดดูลัสที่มีลักษณะของวงกลมจึงไม่สามารถระบุเพสได้ (b) ลักษณะ โครงร่าง ของความผิดพลาดที่เท่ากับศูนย์ของอัลกอริทึมสแคគอนหัวร์มีส่วนที่ใช้ระบุเพส คือมุมของสีเหลี่ยม (c) ลักษณะ โครงร่างของความผิดพลาดที่เท่ากับศูนย์ของ อัลกอริทึมดับเบิลอิลิพส์ที่เพิ่มเติมส่วนของระบุเพสให้กับอัลกอริทึมคอนແສຕນ มอดดูลัส	32

หัวข้อ	หน้า
3.3 (a) พื้นผิวของคอสท์ฟังก์ชันของอัลกอริทึมดับเบิลอีลีพีส์ ที่ $p$ เท่ากับ 1 (b) ทิศทางกราเดียโนของอัลกอริทึมดับเบิลอีลีพีส์ ที่ $p$ เท่ากับ 1	33
3.4 (a) พื้นผิวของคอสท์ฟังก์ชันของอัลกอริทึมดับเบิลอีลีพีส์ ที่ $p$ เท่ากับ 2 (b) ทิศทางกราเดียโนของอัลกอริทึมดับเบิลอีลีพีส์ ที่ $p$ เท่ากับ 2	34
3.5 (a) พื้นผิวของคอสท์ฟังก์ชันของอัลกอริทึมดับเบิลอีลีพีส์ ที่ $p$ เท่ากับ 3 (b) ทิศทางกราเดียโนของอัลกอริทึมดับเบิลอีลีพีส์ ที่ $p$ เท่ากับ 3	35
3.6 (a) พื้นผิวของคอสท์ฟังก์ชันของอัลกอริทึมดับเบิลอีลีพีส์ ที่ $p$ เท่ากับ 10 (b) ทิศทางกราเดียโนของอัลกอริทึมดับเบิลอีลีพีส์ ที่ $p$ เท่ากับ 10	36
3.7 ลักษณะของค่อนسطेलเดชันของสัญญาณข้อมูลแบบ 16-QAM ที่ทำให้คอสท์ฟังก์ชันมีค่าต่ำสุดเมื่อขนาดอัตราส่วนระหว่างแกนหลักและแกนรองมีค่าเท่ากับ 4	38
3.8 ผลลัพธ์หลังจากที่ทำอีคิวไอลเซชันกับสัญญาณข้อมูลแบบ 16-QAM ที่ถูกอนุมไป 11.2 องศา (หมุนทวนเข็มนาฬิกา)	39
3.9 ผลลัพธ์หลังจากที่ทำอีคิวไอลเซชันกับสัญญาณข้อมูลแบบ 16-QAM ที่ถูกอนุมไป 22.5 องศา (หมุนทวนเข็มนาฬิกา)	40
3.10 ผลลัพธ์หลังจากที่ทำอีคิวไอลเซชันกับสัญญาณข้อมูลแบบ 16-QAM ที่ถูกอนุมไป 45 องศา (หมุนทวนเข็มนาฬิกา)	40
3.11 ผลลัพธ์หลังจากที่ทำอีคิวไอลเซชันกับสัญญาณข้อมูลแบบ 16-QAM ที่ถูกอนุมไป 60 องศา (หมุนทวนเข็มนาฬิกา)	41
3.12 พื้นผิวของคอสท์ฟังก์ชันตามแนวคิดอัลกอริทึมดับเบิลอีลีพีส์แบบแอพอิซูท	42
3.13 กรณีที่ค่าค่ายกกำลังเป็นคู่ บริเวณที่มีค่าเป็นบวกจะแทนด้วย + และบริเวณที่มีค่าเป็นลบจะแทนด้วย -	43
3.14 กรณีที่ค่าค่ายกกำลังเป็นคู่และแอพอิซูท บริเวณที่มีค่าเป็นบวกจะแทนด้วย +	43
3.15 ลักษณะค่อนسطेलเดชันที่สามารถลดค่าคอสท์ฟังก์ชันได้ต่ำสุด ในกรณีที่สัญญาณเป็น 16-QAM และขนาดของอัตราส่วนเท่าระหว่างแกนหลักและแกนรองเท่ากับ 2	44
3.16 ภาพตัดขวางของคอสท์ฟังก์ชันที่ค่ายกกำลังเท่ากับ 1 เมื่อข้อมูลเป็นสัญญาณแบบ 16-QAM ตำแหน่งที่มีค่าเท่ากับศูนย์จะอยู่ระหว่างชุดสูงสุดและชุดต่ำสุด	45

รูปที่	หน้า
3.17 ภาพตัดขวางของคอสท์ฟิงก์ชันอัลกอริทึมดับเบิลเบล้อดีพีส์แบบแอพอาร์ทีกูป เมื่อ ข้อมูลเป็นสัญญาณแบบ 16-QAM ซึ่งตำแหน่งที่มีค่าเท่ากับศูนย์ ณ จุดต่ำสุด	45
3.18 ลักษณะของสัญญาณที่สามารถลดค่าคอสท์ฟิงก์ชันได้ต่ำสุด ในกรณีที่สัญญาณ เป็น 16-QAM และขนาดของอัตราส่วนระหว่างแกนหลักและแกนรองเท่ากับ 7	46
3.19 ผลลัพธ์ที่ได้จากการอัลกอริทึมดับเบิลเบล้อดีพีส์ที่คายอกกำลังเท่ากับ 1 และการบท แทนจุดของสัญญาณที่ถูกต้อง จำนวนของข้อมูลเท่ากับ 10000	47
3.20 ผลลัพธ์ที่ได้จากการอัลกอริทึมดับเบิลเบล้อดีพีส์แบบแอพอาร์ทีกูปและการบทแทนจุดของ สัญญาณที่ถูกต้อง จำนวนของข้อมูลเท่ากับ 10000	47
3.21 ภาพตัดขวางของคอสท์ฟิงก์ชันอัลกอริทึมดับเบิลเบล้อดีพีส์ที่คายอกกำลังเท่ากับ 1 เมื่อข้อมูลเป็นสัญญาณข้อมูลแบบ 16-QAM ตำแหน่งที่มีค่าเท่ากับศูนย์จะอยู่ ระหว่างจุดสูงสุดและจุดต่ำสุด	48
3.22 ภาพตัดขวงของคอสท์ฟิงก์ชันอัลกอริทึมดับเบิลเบล้อดีพีส์แบบแอพอาร์ทีกูป เมื่อข้อ <sup>๑</sup> ูลเป็นสัญญาณข้อมูลแบบ 16-QAM ตำแหน่งที่มีค่าเท่ากับศูนย์ ณ จุดต่ำสุด	48
3.23 ผลลัพธ์จากการอัลกอริทึมดับเบิลเบล้อดีพีส์ที่คายอกกำลังเท่ากับ 1 ให้การบทแทน จุดสัญญาณที่ถูกต้อง บนสัญญาณข้อมูลแบบ 64-QAM และอัตราส่วน ระหว่างแกนหลักและแกนรองเท่ากับ 2	50
3.24 ผลลัพธ์จากการอัลกอริทึมดับเบิลเบล้อดีพีส์แบบแอพอาร์ทีกูป ให้การบทแทนจุด สัญญาณที่ถูกต้อง บนสัญญาณข้อมูลแบบ 64-QAM และอัตราส่วน ระหว่างแกนหลักและแกนรองเท่ากับ 2	50
3.25 ผลลัพธ์จากการอัลกอริทึมดับเบิลเบล้อดีพีส์ที่คายอกกำลังเท่ากับ 1 ให้การบทแทน จุดสัญญาณที่ถูกต้อง บนสัญญาณข้อมูลแบบ 64-QAM และอัตราส่วน ระหว่างแกนหลักและแกนรองเท่ากับ 7	51
3.26 ผลลัพธ์จากการอัลกอริทึมดับเบิลเบล้อดีพีส์แบบแอพอาร์ทีกูป ให้การบทแทนจุด สัญญาณที่ถูกต้อง บนสัญญาณข้อมูลแบบ 64-QAM และอัตราส่วน ระหว่างแกนหลักและแกนรองเท่ากับ 7	51

รูปที่	หน้า
3.27 ผลลัพธ์จากอัลกอริทึมดับเบิลอีลิพส์ที่ค่ายกกำลังเท่ากับ 1 ให้กากบาทแทน ชุดสัญญาณที่ถูกต้อง บันสัญญาณข้อมูลแบบ 256-QAM และอัตราส่วน ระหว่างแกนหลักและแกนรองเท่ากับ 2	52
3.28 ผลลัพธ์จากอัลกอริทึมดับเบิลอีลิพส์แบบแอปโซลูท ให้กากบาทแทนชุด สัญญาณที่ถูกต้อง บันสัญญาณข้อมูลแบบ 256-QAM และอัตราส่วน ระหว่างแกนหลักและแกนรองเท่ากับ 2	52
3.29 ผลลัพธ์จากอัลกอริทึมดับเบิลอีลิพส์ที่ค่ายกกำลังเท่ากับ 1 ให้กากบาทแทน ชุดสัญญาณที่ถูกต้อง บันสัญญาณข้อมูลแบบ 256-QAM และอัตราส่วน ระหว่างแกนหลักและแกนรองเท่ากับ 7	53
3.30 ผลลัพธ์จากอัลกอริทึมดับเบิลอีลิพส์แบบแอปโซลูท ให้กากบาทแทนชุด สัญญาณที่ถูกต้อง บันสัญญาณข้อมูลแบบ 256-QAM และอัตราส่วน ระหว่างแกนหลักและแกนรองเท่ากับ 7	53
4.1 ความแตกต่างของพื้นผิวคอสห์ฟิงก์ชันของ (a) อัลกอริทึมดับเบิลอีลิพส์ที่ ค่ายกกำลัง $p$ เท่ากับ 2 และ (b) อัลกอริทึมดับเบิลอีลิพส์แบบแอปโซลูท สามารถสังเกตบริเวณพื้นราบที่มากในอัลกอริทึมดับเบิลอีลิพส์ที่ค่ายกกำลัง $p$ เท่ากับ 2 ในขณะที่อัลกอริทึมดับเบิลอีลิพส์แบบแอปโซลูทมีความชัน ทำให้ความสามารถในการสู้เข้าหาคำตอบเร็วกว่าอัลกอริทึมดับเบิลอีลิพส์ที่ ค่ายกกำลัง $p$ เท่ากับ 2	55
4.2 ลักษณะตัวอย่างของสัญญาณ โดยที่ (1) ส่วนของจำนวนจริงและ (2) ส่วนของจำนวนจินตภาพ	59
4.3 แสดงระดับค่าเฉลี่ยของอินเตอร์ชิม โบลอนเตอร์เพียเรนซ์สำหรับสัญญาณ ข้อมูลแบบ 16-QAM เมื่ออัลกอริทึมดับเบิลอีลิพส์แบบแอปโซลูทมี อัตราส่วนระหว่างแกนหลักและแกนรองเท่ากับ 2	61
4.4 แสดงผลลัพธ์ของระบบหลังจากใช้ข้อมูลไป 2500 จุด เมื่ออัลกอริทึม ดับเบิลอีลิพส์แบบแอปโซลูทมีอัตราส่วนระหว่างแกนหลักและแกน รองเท่ากับ 2	61

รูปที่	หน้า
4.5 แสดงระดับค่าเฉลี่ยของอินเตอร์ชิม โบลอนเตอร์เพียเรนซ์สำหรับสัญญาณ ข้อมูลแบบ 16-QAM เมื่ออัลกอริทึมดับเบิลอีลิพส์แบบแอฟโซลูทมี อัตราส่วนระหว่างแกนหลักและแกนรองเท่ากับ 3	62
4.6 แสดงผลลัพธ์ของระบบหลังจากใช้ข้อมูลไป 2500 จุด เมื่ออัลกอริทึม ดับเบิลอีลิพส์แบบแอฟโซลูทมีอัตราส่วนระหว่างแกนหลักและแกน รองเท่ากับ 3	62
4.7 แสดงระดับค่าเฉลี่ยของอินเตอร์ชิม โบลอนเตอร์เพียเรนซ์สำหรับสัญญาณ ข้อมูลแบบ 64-QAM เมื่ออัลกอริทึมดับเบิลอีลิพส์แบบแอฟโซลูทมี อัตราส่วนระหว่างแกนหลักและแกนรองเท่ากับ 2	64
4.8 แสดงผลลัพธ์ของระบบหลังจากใช้ข้อมูลไป 12000 จุด เมื่ออัลกอริทึม ดับเบิลอีลิพส์แบบแอฟโซลูทมีอัตราส่วนระหว่างแกนหลักและแกน รองเท่ากับ 2	64
4.9 แสดงระดับค่าเฉลี่ยของอินเตอร์ชิม โบลอนเตอร์เพียเรนซ์สำหรับสัญญาณ ข้อมูลแบบ 64-QAM เมื่ออัลกอริทึมดับเบิลอีลิพส์แบบแอฟโซลูทมี อัตราส่วนระหว่างแกนหลักและแกนรองเท่ากับ 3	65
4.10 แสดงผลลัพธ์ของระบบหลังจากใช้ข้อมูลไป 12000 จุด เมื่ออัลกอริทึม ดับเบิลอีลิพส์แบบแอฟโซลูทมีอัตราส่วนระหว่างแกนหลักและแกน รองเท่ากับ 3	65
4.11 แสดงระดับค่าเฉลี่ยของอินเตอร์ชิม โบลอนเตอร์เพียเรนซ์สำหรับสัญญาณ ข้อมูลแบบ 256-QAM เมื่ออัลกอริทึมดับเบิลอีลิพส์แบบแอฟโซลูทมี อัตราส่วนระหว่างแกนหลักและแกนรองเท่ากับ 2	66
4.12 แสดงระดับค่าเฉลี่ยของอินเตอร์ชิม โบลอนเตอร์เพียเรนซ์สำหรับสัญญาณ ข้อมูลแบบ 256-QAM เมื่ออัลกอริทึมดับเบิลอีลิพส์แบบแอฟโซลูทมี อัตราส่วนระหว่างแกนหลักและแกนรองเท่ากับ 3	66
4.13 เปรียบเทียบประสิทธิภาพอัลกอริทึมดับเบิลอีลิพส์แบบแอฟโซลูทและ แบบค่ายกกำลัง $p = 2$ ที่อัตราส่วนระหว่างแกนหลักและแกนรอง เท่ากับ 2 สำหรับสัญญาณข้อมูลแบบ 16-QAM	67

รูปที่	หน้า
4.14 เปรียบเทียบประสิทธิภาพอัลกอริทึมดับเบิลออสิลิพส์แบบแอดโพโซลูทและแบบค่ายกกำลัง $p = 2$ ที่อัตราส่วนระหว่างแกนหลักและแกนรองเท่ากับ 2 สำหรับสัญญาณข้อมูลแบบ 64-QAM	68
4.15 เปรียบเทียบประสิทธิภาพอัลกอริทึมดับเบิลออสิลิพส์แบบแอดโพโซลูทและแบบค่ายกกำลัง $p = 2$ ที่อัตราส่วนระหว่างแกนหลักและแกนรองเท่ากับ 2 สำหรับสัญญาณข้อมูลแบบ 256-QAM	68
4.16 ข้อมูลระดับค่าเฉลี่ยของกำลังสองของความผิดพลาด ณ ระดับคงที่ สำหรับผลที่ได้จากการทดลองและผลที่ได้จากการคำนวณ เมื่ออัตราส่วนระหว่างแกนหลักและแกนรองเท่ากับ 2 บนสัญญาณข้อมูลแบบ 16-QAM	83
4.17 ข้อมูลระดับค่าเฉลี่ยของกำลังสองของความผิดพลาด ณ ระดับคงที่ สำหรับผลที่ได้จากการทดลองและผลที่ได้จากการคำนวณ เมื่ออัตราส่วนระหว่างแกนหลักและแกนรองเท่ากับ 3 บนสัญญาณข้อมูลแบบ 16-QAM	83
4.18 ข้อมูลระดับค่าเฉลี่ยของกำลังสองของความผิดพลาด ณ ระดับคงที่ สำหรับผลที่ได้จากการทดลองและผลที่ได้จากการคำนวณ เมื่ออัตราส่วนระหว่างแกนหลักและแกนรองเท่ากับ 2 บนสัญญาณข้อมูลแบบ 64-QAM	84
4.19 ข้อมูลระดับค่าเฉลี่ยของกำลังสองของความผิดพลาด ณ ระดับคงที่ สำหรับผลที่ได้จากการทดลองและผลที่ได้จากการคำนวณ เมื่ออัตราส่วนระหว่างแกนหลักและแกนรองเท่ากับ 3 บนสัญญาณข้อมูลแบบ 64-QAM	84
4.20 ข้อมูลระดับค่าเฉลี่ยของกำลังสองของความผิดพลาด ณ ระดับคงที่ สำหรับผลที่ได้จากการทดลองและผลที่ได้จากการคำนวณ เมื่ออัตราส่วนระหว่างแกนหลักและแกนรองเท่ากับ 2 บนสัญญาณข้อมูลแบบ 256-QAM	85
4.21 ข้อมูลระดับค่าเฉลี่ยของกำลังสองของความผิดพลาด ณ ระดับคงที่ สำหรับผลที่ได้จากการทดลองและผลที่ได้จากการคำนวณ เมื่ออัตราส่วนระหว่างแกนหลักและแกนรองเท่ากับ 3 บนสัญญาณข้อมูลแบบ 256-QAM	85
4.22 วิธีการตีความสัญญาณลักษณ์ด้วยระบบเทرزโซด์	87
4.23 ลักษณะคอนสเตลเลชันของสัญญาณข้อมูลแบบ 16-QAM สำหรับผลลัพธ์ที่ได้จากการใช้ซอฟต์แวร์เมื่อระดับค่าเฉลี่ยของกำลังสองของความผิดพลาดของ	88

## รูปที่

## หน้า

ไฟล์ที่ -1.8	
4.24 ลักษณะค่อนسطेलเลชันของสัญญาณข้อมูลแบบ 64-QAM สำหรับผลลัพธ์ที่ได้จากอีควาไลเซอร์เมื่อระดับค่าเฉลี่ยของกำลังสองของความผิดพลาดของไฟล์ที่ -1.63	88
4.25 แสดงระดับค่าเฉลี่ยของระดับค่าเฉลี่ยของกำลังสองของความผิดพลาดของไฟล์สำหรับสัญญาณข้อมูลแบบ 16-QAM เมื่ออัลกอริทึมดับเบิลอีลิปส์แบบแอฟโซลูทมีอัตราส่วนระหว่างแกนหลักและแกนรองเท่ากับ 2	90
4.26 แสดงระดับค่าเฉลี่ยของระดับค่าเฉลี่ยของกำลังสองของความผิดพลาดของไฟล์สำหรับสัญญาณข้อมูลแบบ 16-QAM เมื่ออัลกอริทึมดับเบิลอีลิปส์แบบแอฟโซลูทมีอัตราส่วนระหว่างแกนหลักและแกนรองเท่ากับ 3	90
4.27 ผลลัพธ์ที่ได้จากการทดสอบแบบแอฟโซลูทที่อัตราส่วนระหว่างแกนหลักและแกนรองเท่ากับ 3 เมื่อทำงานบนข้อมูลทดสอบแบบที่ถูกทดสอบไป $\frac{\pi}{4}$ เรเดียน โดยที่ตำแหน่งที่ถูกต้องคือ สัญลักษณ์ภาษาไทย	91
4.28 แสดงระดับค่าเฉลี่ยของระดับค่าเฉลี่ยของกำลังสองของความผิดพลาดของไฟล์สำหรับสัญญาณข้อมูลแบบ 64-QAM เมื่ออัลกอริทึมดับเบิลอีลิปส์แบบแอฟโซลูทมีอัตราส่วนระหว่างแกนหลักและแกนรองเท่ากับ 2	92
4.29 แสดงระดับค่าเฉลี่ยของระดับค่าเฉลี่ยของกำลังสองของความผิดพลาดของไฟล์สำหรับสัญญาณข้อมูลแบบ 64-QAM เมื่ออัลกอริทึมดับเบิลอีลิปส์แบบแอฟโซลูทมีอัตราส่วนระหว่างแกนหลักและแกนรองเท่ากับ 3	92
4.30 ภาพมุมมองทางด้านบนของพื้นผิวคอสท์ฟังชันสำหรับอัลกอริทึมดับเบิลอีลิปส์แบบแอฟโซลูทและลักษณะค่อนسطेलเลชันของสัญญาณข้อมูลแบบ 64-QAM เมื่ออัตราส่วนเท่ากับ 2	94
4.31 ภาพมุมมองทางด้านบนของพื้นผิวคอสท์ฟังชันสำหรับอัลกอริทึมดับเบิลอีลิปส์แบบแอฟโซลูทและลักษณะค่อนسطेलเลชันของสัญญาณข้อมูลแบบ 64-QAM เมื่ออัตราส่วนเท่ากับ 3	94

หัวข้อ	หน้า
5.1 ลักษณะนุ่มนองด้านบนของพื้นผิวคอสท์ฟิงก์ชันตามแนวคิคอัลกอริทึมรีดิวคอนสเตตแลดี้น	96
5.2 ลักษณะนุ่มนองด้านบนของพื้นผิวคอสท์ฟิงก์ชันตามแนวคิคอัลกอริทึมดับเบิลอีลิพส์แบบไมดิฟาย	96
5.3 ค่าคงที่อัลกอริทึมดับเบิลอีลิพส์สำหรับสัญญาณข้อมูลแบบ 16-QAM	100
5.4 ค่าคงที่อัลกอริทึมดับเบิลอีลิพส์สำหรับสัญญาณข้อมูลแบบ 64-QAM/256-QAM	100
5.5 แสดงระดับค่าเฉลี่ยของอินเตอร์ซิมโบลอินเตอร์เฟียเรนซ์สำหรับสัญญาณข้อมูลแบบ 16-QAM เมื่ออัลกอริทึมดับเบิลอีลิพส์แบบไมดิฟายมีอัตราส่วนระหว่างแกนหลักและแกนรองเท่ากับ 2	103
5.6 แสดงผลลัพธ์ของระบบหลังจากใช้ข้อมูลไป 2500 จุด เมื่ออัลกอริทึมดับเบิลอีลิพส์แบบไมดิฟายมีอัตราส่วนระหว่างแกนหลักและแกนรองเท่ากับ 2	103
5.7 แสดงระดับค่าเฉลี่ยของอินเตอร์ซิมโบลอินเตอร์เฟียเรนซ์สำหรับสัญญาณข้อมูลแบบ 16-QAM เมื่ออัลกอริทึมดับเบิลอีลิพส์แบบไมดิฟายมีอัตราส่วนระหว่างแกนหลักและแกนรองเท่ากับ 7	104
5.8 แสดงผลลัพธ์ของระบบหลังจากใช้ข้อมูลไป 2500 จุด เมื่ออัลกอริทึมดับเบิลอีลิพส์แบบไมดิฟายมีอัตราส่วนระหว่างแกนหลักและแกนรองเท่ากับ 7	104
5.9 แสดงระดับค่าเฉลี่ยของอินเตอร์ซิมโบลอินเตอร์เฟียเรนซ์สำหรับสัญญาณข้อมูลแบบ 16-QAM เมื่ออัลกอริทึมดับเบิลอีลิพส์แบบไมดิฟายมีอัตราส่วนระหว่างแกนหลักและแกนรองเท่ากับ 22	105
5.10 แสดงผลลัพธ์ของระบบหลังจากใช้ข้อมูลไป 2500 จุด เมื่ออัลกอริทึมดับเบิลอีลิพส์แบบไมดิฟายมีอัตราส่วนระหว่างแกนหลักและแกนรองเท่ากับ 22	105
5.11 แสดงระดับค่าเฉลี่ยของอินเตอร์ซิมโบลอินเตอร์เฟียเรนซ์สำหรับสัญญาณข้อมูลแบบ 64-QAM เมื่ออัลกอริทึมดับเบิลอีลิพส์แบบไมดิฟายมีอัตราส่วนระหว่างแกนหลักและแกนรองเท่ากับ 2	107
5.12 แสดงผลลัพธ์ของระบบหลังจากใช้ข้อมูลไป 6000 จุด เมื่ออัลกอริทึมดับเบิลอีลิพส์แบบไมดิฟายมีอัตราส่วนระหว่างแกนหลักและแกนรองเท่ากับ 2	107
5.13 แสดงระดับค่าเฉลี่ยของอินเตอร์ซิมโบลอินเตอร์เฟียเรนซ์สำหรับสัญญาณข้อมูล	108

หัวข้อ	หน้า
แบบ 64-QAM เมื่ออัลกอริทึมดับเบิลอีลิปส์แบบโมดิฟายมีอัตราส่วนระหว่าง แกนหลักและแกนรองเท่ากับ 7	
5.14 แสดงผลลัพธ์ของระบบหลังจากใช้ข้อมูลไป 6000 จุด เมื่ออัลกอริทึมดับเบิล อีลิปส์แบบโมดิฟายมีอัตราส่วนระหว่างแกนหลักและแกนรองเท่ากับ 7	108
5.15 แสดงระดับค่าเฉลี่ยของอินเตอร์ชิม โบลอินเตอร์เฟียร์นซ์ สำหรับสัญญาณข้อมูล แบบ 64-QAM เมื่ออัลกอริทึมดับเบิลอีลิปส์แบบโมดิฟายมีอัตราส่วนระหว่าง แกนหลักและแกนรองเท่ากับ 22	109
5.16 แสดงผลลัพธ์ของระบบหลังจากใช้ข้อมูลไป 6000 จุด เมื่ออัลกอริทึมดับเบิล อีลิปส์แบบโมดิฟายมีอัตราส่วนระหว่างแกนหลักและแกนรองเท่ากับ 22	109
5.17 แสดงระดับค่าเฉลี่ยของอินเตอร์ชิม โบลอินเตอร์เฟียร์นซ์ สำหรับสัญญาณข้อมูล แบบ 256-QAM เมื่ออัลกอริทึมดับเบิลอีลิปส์แบบโมดิฟายมีอัตราส่วนระหว่าง แกนหลักและแกนรองเท่ากับ 2	110
5.18 แสดงระดับค่าเฉลี่ยของอินเตอร์ชิม โบลอินเตอร์เฟียร์นซ์ สำหรับสัญญาณข้อมูล แบบ 256-QAM เมื่ออัลกอริทึมดับเบิลอีลิปส์แบบโมดิฟายมีอัตราส่วนระหว่าง แกนหลักและแกนรองเท่ากับ 7	111
5.19 แสดงระดับค่าเฉลี่ยของอินเตอร์ชิม โบลอินเตอร์เฟียร์นซ์ สำหรับสัญญาณข้อมูล แบบ 256-QAM เมื่ออัลกอริทึมดับเบิลอีลิปส์แบบโมดิฟายมีอัตราส่วนระหว่าง แกนหลักและแกนรองเท่ากับ 22	111
5.20 ข้อมูลระดับค่าเฉลี่ยของค่ายกกำลังสองของความผิดพลาด ณ ระดับคงที่ สำหรับ ผลที่ได้จากการทดลองและผลที่ได้จากการคำนวณ เมื่ออัตราส่วนระหว่างแกน หลักและแกนรองเท่ากับ 2 บนสัญญาณข้อมูลแบบ 16-QAM	123
5.21 ข้อมูลระดับค่าเฉลี่ยของค่ายกกำลังสองของความผิดพลาด ณ ระดับคงที่ สำหรับ ผลที่ได้จากการทดลองและผลที่ได้จากการคำนวณ เมื่ออัตราส่วนระหว่างแกน หลักและแกนรองเท่ากับ 7 บนสัญญาณข้อมูลแบบ 16-QAM	123
5.22 ข้อมูลระดับค่าเฉลี่ยของค่ายกกำลังสองของความผิดพลาด ณ ระดับคงที่ สำหรับ ผลที่ได้จากการทดลองและผลที่ได้จากการคำนวณ เมื่ออัตราส่วนระหว่างแกน หลักและแกนรองเท่ากับ 22 บนสัญญาณข้อมูลแบบ 16-QAM	124



## รูปที่

## หน้า

5.32 แสดงระดับค่าเฉลี่ยของระดับค่าเฉลี่ยของค่ายกกำลังสองของความผิดพลาด ของเฟส สำหรับสัญญาณข้อมูลแบบ 64-QAM เมื่ออัลกอริทึมดับเบิลอีลิพส์ แบบโมดิฟายมีอัตราส่วนระหว่างแกนหลักและแกนรองเท่ากับ 2	130
5.33 แสดงระดับค่าเฉลี่ยของระดับค่าเฉลี่ยของค่ายกกำลังสองของความผิดพลาด ของเฟส สำหรับสัญญาณข้อมูลแบบ 64-QAM เมื่ออัลกอริทึมดับเบิลอีลิพส์ แบบโมดิฟายมีอัตราส่วนระหว่างแกนหลักและแกนรองเท่ากับ 7	131
5.34 แสดงระดับค่าเฉลี่ยของระดับค่าเฉลี่ยของค่ายกกำลังสองของความผิดพลาด ของเฟส สำหรับสัญญาณข้อมูลแบบ 64-QAM เมื่ออัลกอริทึมดับเบิลอีลิพส์ แบบโมดิฟายมีอัตราส่วนระหว่างแกนหลักและแกนรองเท่ากับ 22	131
5.35 ภาพมุมมองทางด้านบนของพื้นผิวคอสท์ฟังชันสำหรับอัลกอริทึมดับเบิลอีลิพส์ แบบโมดิฟาย และลักษณะคอนสเตรลเลชันของสัญญาณข้อมูลแบบ 64-QAM เมื่ออัตราส่วนเท่ากับ 2	134
5.36 ภาพมุมมองทางด้านบนของพื้นผิวคอสท์ฟังชันสำหรับอัลกอริทึมดับเบิลอีลิพส์ แบบโมดิฟาย และลักษณะคอนสเตรลเลชันของสัญญาณข้อมูลแบบ 64-QAM เมื่ออัตราส่วนเท่ากับ 7	135
5.37 ภาพมุมมองทางด้านบนของพื้นผิวคอสท์ฟังชันสำหรับอัลกอริทึมดับเบิลอีลิพส์ แบบโมดิฟาย และลักษณะคอนสเตรลเลชันของสัญญาณข้อมูลแบบ 64-QAM เมื่ออัตราส่วนเท่ากับ 22	136
5.38 ภาพมุมมองทางด้านบนของพื้นผิวคอสท์ฟังชันสำหรับอัลกอริทึมดับเบิลอีลิพส์ แบบโมดิฟาย และลักษณะคอนสเตรลเลชันของสัญญาณข้อมูลแบบ 64-QAM เมื่ออัตราส่วนเท่ากับ 50	136
5.39 การเปรียบเทียบความเร็วในการลดระดับความผิดพลาดของเฟสของอัลกอริทึมดับ เบิลอีลิพส์แบบโมดิฟายที่อัตราส่วนระหว่างแกนหลักและแกนรองเท่ากับ 7 และ 22	137